

○ 日本国鉄道 正員 宮本征夫
 東京大学工学部 正員 西野文雄
 東京大学工学部 正員 奥村敏惠

1. 序論

二主軸方向の曲げと軸力を受ける柱の強度について、現在に至るまで数多くの実験および理論的研究の報告がなされてきた。この問題の研究には二つの方向がある。一つは弾性フリル式の解法に重きをおくもの、⁽¹⁾⁽²⁾⁽³⁾ 一つは二軸曲げ圧縮を受ける部材に提案されている設計式を二軸曲げと圧縮を受ける柱に拡張し、実験結果との検討を行つものである。前者では計算法に重きを置いていたので、実際に得立つ結果についての議論が少なく、後者ではねじりの影響を無視してはともかくわらず、解析的に厳密な解との比較をかこなつておいたため、理論との関係が明らかでない。本研究ではこの点に着目し、二軸曲げと軸力を受ける柱の強度を弾性計算から求め、この結果とねじりの影響を無視して得られる數値、あるいは慣用的設計式とを比較検討した。さらに計算結果を検討するものとして H 形鋼を取りあげ、二軸偏心載荷状態で圧縮試験を行なつた。

2. 二主軸曲げと軸力を受ける柱の変形および最大応力

等断面柱が両端で二主軸曲げと圧縮を受ける場合の変形と断面内に生じる応力を調べる。断面の重心を通る二主軸を X 軸、柱の重心軸を Z 軸とする。柱の両端で单一の偏心荷重 P が X 軸 Y 軸方向に e_x, e_y だけ偏心して作用する場合を考慮する。柱の任意断面の X 軸、Y 軸方向の変位をそれぞれ u, v、せん断中心まわりの回転角を ϕ とすると曲げおよびねじりに関する次のよく知られた釣り合式が得られる。⁽¹⁾⁽²⁾⁽³⁾

$$EI_y \frac{d^4 u}{dz^4} + P \frac{d^2 u}{dz^2} + P(y_0 - e_y) \frac{d^2 \phi}{dz^2} = 0 \quad (1)$$

$$EI_x \frac{d^4 v}{dz^4} + P \frac{d^2 v}{dz^2} + P(x_0 - e_x) \frac{d^2 \phi}{dz^2} = 0 \quad (2)$$

$$C_2 \frac{d^2 \phi}{dz^2} - (c_1 - Pr_0^2) \frac{d^2 \phi}{dz^2} + P[(y_0 - e_y) \frac{d^2 u}{dz^2} - (x_0 - e_x) \frac{d^2 v}{dz^2}] = 0 \quad (3)$$

ここに I_x, I_y はそれぞれ X 軸、Y 軸まわりの断面二次モーメント、 C_2, C_1 はそれ曲げねじり剛性、サンプタンのねじり剛性、 (x_0, y_0) はせん断中心の座標である。断面積を A、 $B_1 = (\int_A y^2 dA + \int_A z^2 dA) / I_x - 2x_0$ 、 $B_2 = (\int_A x^2 dA + \int_A z^2 dA) / I_y - 2y_0$ とすると $r_0^2 = x_0^2 + y_0^2 + (I_x + I_y)/A + B_1 e_y + B_2 e_x$ と表わされる。
一般解は文献(1)、(3)と同じ方法を使って求めると次の形に書き表わすことが出来る。

$$\begin{bmatrix} u \\ v \\ \phi \end{bmatrix} = [A] \begin{bmatrix} B_1 z + B_2 \\ B_2 z + B_4 \\ B_3 z + B_6 \end{bmatrix} + [C] \begin{bmatrix} B_4 \sin R_1 z + B_8 \cos R_1 z \\ B_8 \sin R_2 z + B_{10} \cos R_2 z \\ B_{11} \sin h R_3 z + B_{12} \cosh h R_3 z \end{bmatrix} \quad (4)$$

ここで

$$[A] = \frac{1}{D} \begin{bmatrix} c_1/P - r_0^2 + (e_x - x_0)^2 & (e_x - x_0)(e_y - y_0) & -(e_y - y_0) \\ (e_x - x_0)e_y - e_y & c_1/P - r_0^2 + (e_y - y_0)^2 & e_x - x_0 \\ -e_y - y_0 & e_x - x_0 & -1 \end{bmatrix} \quad D = c_1 - Pr_0^2 + P(e_x - x_0)^2 + P(e_y - y_0)^2$$

$$[C] = \begin{bmatrix} P(e_y - y_0)/EI_y & P(e_y - y_0)/EI_y & P(c_y - y_0)/EI_y \\ -R_1^2 + P/EI_y & -R_1^2 + P/EI_y & R_1^2 + P/EI_y \\ -P(e_x - x_0)/EI_x & -P(e_x - x_0)/EI_x & -P(e_x - x_0)/EI_x \\ -R_2^2 + P/EI_x & -R_2^2 + P/EI_x & R_2^2 + P/EI_x \end{bmatrix}$$

R_1, R_2, R_3 は二重根、一重根を持つ式に因る 3 次方程式

$$(C_2x - C_1 + Pr_0)^2 EI_x x + P(EI_y x + P) - P^2(e_y - y_0)^2 (EI_x x + P) - P^2(e_x - x_0)^2 (EI_y x + P) = 0$$

の根のうち負根を x_1, x_2 、正根を x_3 とすると、 $R_1 = -x_1, R_2 = -x_2, R_3 = x_3$ と表わされる。 $B_1 \sim B_{12}$ は積分常数であり、両端における 12 の境界条件によって定まる。文献(1)に示されたいは解では(4)式の直線関数の所が三角関数になつてあり、文献(2)の解には(4)式と符号の違つていは所がある。(4)式の変位から柱内の任意の点での垂直応力の、およびせん断応力を求めることが出来る。等断面柱の両端に作用する曲げモーメントが単一の場合、最大変位、最大応力は柱の中央断面内に生じる。断面内の作用応力は垂直応力とせん断応力の合応力によつて決まるため、断面内の作用応力最大の位置は簡単に決まらないが、せん断応力の最大値が垂直応力の最大値に比較してはかに小さく、実用上せん断応力を無視し得る場合には二軸両方の曲げについて圧縮側となるフランジ端部で作用応力が最大となる。H 形断面を考へるとこの値は、柱中央部での変位 $U_{y_2}, V_{y_2}, \Phi_{y_2}$ および断面諸数値を代入して、

$$\sigma = -\frac{P}{A} - \frac{P(e_y - V_{y_2} - ex_0 y_2)(h + t_f)}{2 I_x} - \frac{P(ex - U_{y_2} + e_y \Phi_{y_2})}{2 I_y} + \frac{Ebh \Phi_{y_2}}{4} \quad (5)$$

と表わされる。ここに h はフランジ板厚中心線間隔、 b はフランジの中、 t_f はフランジ板厚である。二主軸曲げと圧縮を受けた柱の釣り合いを考へる時、ねじりの影響を無視すると二主軸ばかりの曲げに対するそれそれ独立な次の二つの釣り合い式が得られる。

$$EI_y \frac{d^4 u}{dx^4} + P \frac{d^2 u}{dx^2} = 0 \quad (6) \quad EI_x \frac{d^4 v}{dx^4} + P \frac{d^2 v}{dx^2} = 0 \quad (7)$$

この式を両端単純支持、偏心量 e_x, e_y のもとで解き、その結果をたし合せて得られる解は二軸曲げと圧縮を受けた柱の一つの近似解となる。柱の長さを L とすると柱の変形および断面内の最大応力 σ は

$$u = e_x \left(1 - \sec \frac{L}{2} \sqrt{\frac{P}{EI_y}} \right) \quad (8) \quad v = e_y \left(1 - \sec \frac{L}{2} \sqrt{\frac{P}{EI_x}} \right) \quad (9)$$

$$\sigma = -\frac{P}{A} - \frac{P(e_y - v)(h + t_f)}{2 I_x} - \frac{P(ex - u)b}{2 I_y} \quad (10)$$

理論的に必ずしも近似解と云ふべき問題であるが、一軸曲げを受けた場合の設計式として Massonet⁽⁵⁾ の提案による柱の耐荷力を表す式がよく知られている。この式を二軸曲げを受けた柱に拡張すると

$$\frac{P}{P_{oy}} + \frac{P_{ey}}{M_{oy}(1 - \frac{P}{P_{oy}})} + \frac{P_{ex}}{M_{ox}(1 - \frac{P}{P_{oy}})} = 1 \quad (11)$$

ここに添字 O はオイラー座屈、cr は直の座屈、又 M_{oy} はそれが主軸に因る値を意味する。 M_{oy} は全塑性モーメントを表す。

3 数値計算結果とその検討

2 で求めた解析解、近似解、Massonet の提案による設計式の二軸曲げへの拡張式を比較検討するため、それそれにについて数値計算をおこなった。主要圧縮部材には箱形断面、H 形断面材がよく使用されるが厳密解と近似解の差はねじれ剛性の少ない断面を有する場合に多くなると思われるところから、H 形断面にについて計算をおこなった。計算は二主軸ばかりの断面は次半径の比の小さい柱形断面について行うものとし、圧延 H 形鋼 JIS 100×100×6×8 を選んだ。両端での境界条件は偏心によるモーメントの他は全て単純支持とし、より拘束しないものとした。しかしながら弱軸に因る細長比 60 ～ 100、偏心量 $e_x = e_y = l/100a$ 柱について、より完全拘束、より自由のそれぞれの場合について計算した結果では、より拘束の影響は非常に小さく、両主軸方向の下向きひび割れに対する最大垂直応力のに対する

影響は $\delta = 2400 \text{ kg/cm}^2$ に達する程度の荷重に対して 1~2% 以下である。したがって以下の計算結果はより自由、より拘束のどちらの場合にも適用出来るものと考えられる。これらの柱についてせん断応力の最大値と垂直応力の最大値を比較した結果、せん断応力は垂直応力に比べてはるかに小さく、最大応力を問題とすとき、せん断応力を無視しても結果にはほとんど影響をあたさない。

図 1 は偏心量 $e_x = e_y = 0.457 \text{ cm}$ (細長比 100 の柱の $L/1000$) の下で載荷した時の荷重-最大圧縮応力の関係を細長比の異なる柱について求めた結果を示す。

実線、破線はそれぞれ厳密解、近似解による結果を示す。両者の差は荷重が大きくなる程、細長比が大きい程大きくなる。その差は図 1 で示されてる範囲では 2% を越えない。同じ柱についての二主軸方向への変位が回転変位中より、 π に比べてはるかに小さいため厳密解と近似解の差は小さい。この結果両端で等偏心圧縮を受けた柱の弾性域内の変位、応力を調べるにはねじりの影響を無視し、近似計算を行なっても大した問題ないと思われる。

柱断面内に生じる最大応力が柱の降伏応力に達する荷重(降伏荷重)は柱の設計をするときの一つの重要な目安となる荷重である。図 2, 3 は解析解および近似解によつて得られた柱の降伏荷重と

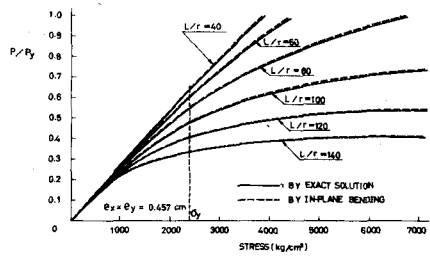


FIG. 1 P/P_r -STRESS RELATIONSHIP

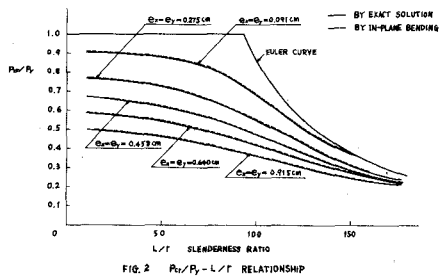


FIG. 2 P_r/P_r -L/r RELATIONSHIP

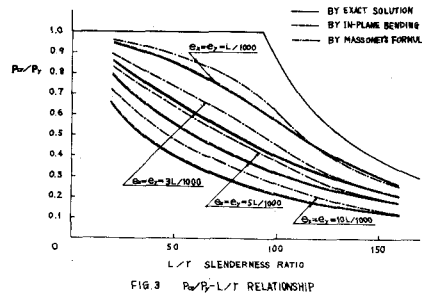


FIG. 3 P_r/B -L/r RELATIONSHIP

細長比に対する耐荷力の低下は偏心量が少ない場合ほど大きい。したがってトラスの構造部材のように主軸圧縮力のみが作用すると考へられた部材に作用する曲げモーメントの影響には注意が必要である。図 3 中の 1 番鎖線は式(IV)によつて計算した結果を示す。式(IV)は直の耐荷力を問題として設計式であり、一般に降伏荷重曲線より上に位置するが、細長比の大きい所では逆に下に位置するところもある。

4 実験

計算結果を検討するため、圧延 H 形鋼 (JIS 100x100x6x8) を使用し、柱の長さを弱軸まわりの細長

比で 60, 80, 100 の 3 種類、一つの長さにつき偏心量を三段階変化させた合計 9 本の柱について二軸偏心圧縮試験を行なった。柱の両端での支持条件は単純支持より拘束とし、この条件を満たすよう二軸方向に回転可能な端部アロッフを作成し使用した。実験はスクリュー式 100 ton 試験機を使用し、柱中央部における変位、回転角、ひずみを測定した。

実験から得られた荷重変位曲線、荷重回転角曲線、荷重ひずみ曲線は解析解から求められた理論曲線と弾性範囲内で一致し、最高荷重に近づくにつれて理論曲線から下されるのが観察された。最高荷重時の回転変形が曲げモーメントにあれば影響は、実験柱の範囲では細長比 100、偏心量 $10^{\circ}/1000$ の柱が最も大きかったが、それでも 5% 程度にすぎない。弾性範囲内でのこの値は理論値、実験値とも 1% 程度であるから、ねじれ変形が柱の崩壊にあれば影響は弾性解析より大きくなると思われるが 5% の値そのものが小さく、ねじりに関する項が二軸曲げを受けた柱の耐荷力にあれば影響はこの実験の柱が柱形断面 H 形柱が二軸に關して同程度の偏心を受けた場合には少ないものと考えられる。

実験から求めるたる最高荷重 P_{max} 、厳密解から計算される降伏荷重、(II)式から計算した荷重 $P_{Mansonet}$ を表 1 に示す。A, B, C, シリーズ内の 3 本の試験体は同一長尺の H 形鋼から切り出した。A, B, C, それぞれの降伏応力に大きな差がみられるが、これは同一工場の材料を使用出来なかつたため、この値が差が表われたものである。最高荷重が降伏荷重またはオイラー荷重から低下する割合は偏心量が大きい程、柱が長い程大きい。

TABLE I TEST SPECIMENS AND RESULTS (Stress: kg/cm², Load: ton)

Specimen No.	L/T	$\frac{e_x - e_y}{L}$	σ_y	$P_y(A\sigma_y)$	P_{max}	P_{Euler}	P_{exact}	$P_{Mansonet}$	$\frac{P_{max}}{P_{Euler}}$	$\frac{P_{max}}{P_{exact}}$	$\frac{P_{max}}{P_{Mansonet}}$
A-1		0			79.0	> P_y	—	—	0.87	—	—
A-2	60	$5/1000$	4150	91.1	52.7	—	41.0	48.4	—	1.27	1.07
A-3		$10/1000$			39.1	—	28.7	35.7	—	1.35	1.09
B-1		0			53.8	> P_y	—	—	0.95	—	—
B-2	80	$5/1000$	2150	56.7	29.0	—	22.6	26.9	—	1.28	1.08
B-3		$10/1000$			19.9	—	15.2	19.2	—	1.31	1.04
C-1		0			40.3	49.0	—	—	0.82	—	—
C-2	100	$5/1000$	2660	57.9	20.6	—	18.0	20.3	—	1.14	1.02
C-3		$10/1000$			15.4	—	12.2	14.7	—	1.26	1.05

程度であるに対し、最高荷重と(II)式から計算した耐荷力との比は 1.05 ~ 1.10 となる。

5 結論

この研究から得られた結論は次の様なものである。(1)モリ拘束に関する境界条件の違いが柱中央断面の応力にあれば影響は小さく無視し得る程度である。(2)二軸方向への変位、断面内に生じる最大応力に著しくかぎり、厳密解と近似解の間にみられる誤差は小さく、ねじりの影響を無視して解析可能であることが可能である。実験柱の挙動から全く同様のこととが崩壊荷重下での柱についても成り立つ。(3)二軸偏心圧縮柱の耐荷力は降伏荷重を 25 ~ 30% 上回るに対し、設計式でもとてたる耐荷力とは比較的よく一致し、実験最高荷重はこの耐荷力を予想値を 5 ~ 10% 上回るものである。

6 参考文献

- (1) Vlasov "Thin-Walled Elastic Beams" NSF, U.S.A. 1961, (2) Culver "Exact Solution of Biaxial Bending Equations" Proc. ASCE, Vol 9 ST 2, April 1966, (3) Klöppel et al. "Experimentelle und Theoretische Untersuchungen über die Traglast von zweiachsig aussermittig Gedrückten" Stahlbau, Feb. 1962, (4) Mansonet "Stability Consideration in Design of Steel Columns" Proc. ASCE, Vol 35 ST 2, Sept. 1959.

中心圧縮柱では計算上考慮していない初期偏心、たわみ、残存応力等が大きく影響をあたしていき、実験値が理論値を下まわっている。中心圧縮を除く 6 本の柱の最高荷重と降伏荷重の比は 1.25 ~ 1.30 程度であるに対し、最高荷重と(II)式から計算した耐荷力との比は 1.05 ~ 1.10 となる。